

УДК 546.742+546.215

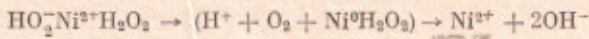
ФИЗИЧЕСКАЯ ХИМИЯ

Л. Н. АРЗАМАСКОВА, А. П. ПУРМАЛЬ

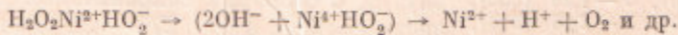
ОБ ОДНОЭЛЕКТРОННОМ МЕХАНИЗМЕ  
ВНУТРИКООРДИНАЦИОННОГО ОКИСЛИТЕЛЬНО-  
ВОССТАНОВИТЕЛЬНОГО АКТА

(Представлено академиком В. Н. Кондратьевым 10 XII 1969)

Окислительно-восстановительный (о.в.) распад  $\text{H}_2\text{O}_2$  в присутствии комплексов  $\text{Ni}^{2+}$  с моноэтаноламином ( $\text{A}$ ) не включает реакций свободных перекисных радикалов (<sup>1</sup>). Кинетические закономерности указывают на образование промежуточного комплекса  $\text{Ni}^{2+}(\text{A})^3$  с  $\text{HO}_2^-$  и  $\text{H}_2\text{O}_2$  (<sup>1</sup>). Таким образом, катализитическое действие иона  $\text{Ni}^{2+}(\text{A})_3$ , по существующей терминологии, связано с локализацией субстратных частиц в координационной сфере иона металла. Возможны различные механизмы взаимодействия  $\text{HO}_2^-$  и  $\text{H}_2\text{O}_2$  в координационной сфере иона никеля: перенос двух электронов от  $\text{HO}_2^-$  на  $\text{H}_2\text{O}_2$  без промежуточного изменения валентности  $\text{Ni}^{2+}$ ; тот же механизм, осуществляющийся в две одноэлектронные стадии, без выхода радикалов  $\text{HO}_2$ ,  $\text{O}_2^-$ ,  $\text{OH}$  из координационной сферы; передача двух электронов от  $\text{HO}_2^-$  на  $\text{H}_2\text{O}_2$  по «электронному мостику»:



тот же механизм, осуществляющийся в две одноэлектронные стадии, т. е. с промежуточным образованием состояния  $\text{Ni}^+$ ; механизм с участием ионов  $\text{Ni}^{4+}$  или  $\text{Ni}^{3+}$ :



В случае участия димерных комплексов  $\text{Ni}^{2+}$  (известны  $\text{Ni}_2(\text{OH})^{3+}$ ,  $\text{Ni}_3(\text{OH})^{3+}$ ,  $\text{Ni}_4(\text{OH})^{4+}$  (<sup>2</sup>)) промежуточные состояния  $2\text{Ni}^+$  или  $2\text{Ni}^{3+}$  могут возникать при двухэлектронном механизме переноса между субстратными частицами.

Все эти возможные пути реализации о.в. акта без участия свободных радикалов в растворе являются вариантами осуществления макромолекулярного катализа.

Различие электронных конфигураций  $\text{Ni}^0$ ,  $\text{Ni}^+$ ,  $\text{Ni}^{2+}$ ,  $\text{Ni}^{4+}$  определяет различие спектральных свойств этих ионов и принципиальную возможность обнаружения их спектрофотометрически. Для установления внутреннего механизма о.в. процесса в координационной сфере иона  $\text{Ni}^{2+}(\text{A})_3$  мы провели спектрофотометрическое исследование системы  $\text{Ni}^{2+} - \text{A} - \text{H}_2\text{O}_2$ . Для выяснения возможности участия дву- и полигидерных комплексов  $\text{Ni}^{2+}(\text{A})_3$  в механизме процесса предварительно было проведено изучение комплексов  $\text{Ni}^{2+}(\text{A})_3$  методами спектрофотометрии и магнитной восприимчивости. Сближение ионов металлов с неспаренными  $d$ -электронами часто приводит к возникновению  $d - d$ -взаимодействия и падению магнитной восприимчивости (<sup>3</sup>), а также отклонениям от закона ЛамBERTA — Бера.

Измерялась магнитная восприимчивость растворов комплекса  $\text{Ni}^{2+}(\text{A})_3$  при pH 9,24—9,7 и  $[\text{Ni}^{2+}] = 4 \cdot 10^{-2} - 3 \cdot 10^{-1}$  мол/л. Было найдено, что независимо от концентрации  $[\text{Ni}^{2+}]_{\mu_{\text{эф}}} = 2,85 - 3,0$  магнетонов Бора, хорошо согласуясь с расчетной величиной  $\mu = 2,83$  для иона  $\text{Ni}^{2+}$  (два неспарен-

ных электрона) и с экспериментальными величинами  $\mu$  для многочисленных парамагнитных комплексов  $\text{Ni}^{2+}$  (2,9—3,4).

Спектр водного раствора  $\text{Ni}^{2+}(A)_3$  характеризуют три полосы поглощения, типичные для октаэдрической структуры никелевых комплексов (конфигурация  $d^6$ ). Эти полосы отвечают следующим переходам внутри  $d$ -оболочки: 1) инфракрасная полоса  ${}^3\text{A}_{2d}(F) \rightarrow {}^3\text{T}_{1d}(F)$   $\nu = 10\,000 \text{ см}^{-1}$ ; 2) несимметричная, двойная полоса в красной области спектра:  ${}^3\text{A}_{2d}(F) \rightarrow {}^3\text{T}_{1d}(F)$   $\nu = 15\,200 \text{ см}^{-1}$ ;  ${}^3\text{A}_{2d}(F) \rightarrow {}^1\text{E}_d(D)$   $\nu = 16\,750 \text{ см}^{-1}$ ; 3) наиболее интенсивная полоса в синей области:  ${}^3\text{A}_{2d}(F) \rightarrow {}^3\text{T}_{1d}(P)$   $\nu = 27\,250 \text{ см}^{-1}$ . Спектры растворов  $\text{Ni}^{2+}(A)_3$  снимались при  $\text{pH} 9,4—10,6$  и  $[\text{Ni}^{2+}] = 0—0,1 \text{ мол/л}$ , т. е. в интервале условий, соответствующих кинетическим опытам. Закон Ламберта — Бера выполняется, т. е. комплекс существует в мономерной форме. Только при  $\text{pH} 11,6$  наблюдается нарушение закона Л.—Б. При  $[\text{Ni}^{2+}] > 6 \cdot 10^{-2} \text{ мол/л}$ , т. е. лишь в этих условиях, по-видимому, происходит образование димерных структур, причем отклонение от закона Л.—Б. невелико, а положение максимума полосы поглощения и ее форма не меняются. (В этих опытах измерялась синяя, наиболее интенсивная полоса спектра  $\text{Ni}^{2+}(A)_3$ .)

На основании приведенных данных можно заключить, что в условиях кинетических опытов ( $\text{pH} 9,4—10,6$  и  $[\text{Ni}^{2+}] \ll 10^{-1} \text{ мол/л}$ ) комплекс  $\text{Ni}^{2+}(A)_3$  является мономерным.

При добавлении  $\text{H}_2\text{O}_2$  в систему  $\text{Ni}^{2+} — A$  положение максимумов всех трех полос поглощения спектра комплекса  $\text{Ni}^{2+}(A)_3$  и их интенсивности не меняются, т. е. переходы внутри  $d$ -оболочки сохраняются. В у.-ф. области спектра при  $\lambda 270—325 \text{ мкм}$  появляется новая интенсивная полоса (рис. 1). Для определения возможности отнесения этой полосы промежуточному комплексу катализатора с перекисной (перекисными) частицами было проведено параллельное измерение скоростей разложения  $\text{H}_2\text{O}_2$  и спектра поглощения при  $\lambda 270—325 \text{ мкм}$  в зависимости от концентрационных параметров системы —  $[\text{H}_2\text{O}_2]$ ,  $[\text{Ni}^{2+}]$ ,  $[\text{A}]$ ,  $\text{pH}$  среды. Спектр поглощения реакционной системы снимался относительно раствора с теми же  $[\text{A}]$ ;  $[\text{Ni}^{2+}]$ ,  $\text{pH}$ , но не содержащего  $\text{H}_2\text{O}_2$ . Кроме того, учитывался фон, создаваемый  $\text{H}_2\text{O}_2$  и молекулярным комплексом  $\text{H}_2\text{O}_2 — A$ .

На рис. 2 приведены данные, полученные при различных комбинациях концентрационных параметров системы. Эти данные показывают наличие прямой связи между скоростью процесса и концентрацией комплекса, обладающего поглощением при  $\lambda 270—325 \text{ мкм}$ , т. е.  $W = k_{\text{eff}}[\text{X}]$ .

Поскольку ни положение в спектре, ни интенсивность полос поглощения  $\text{Ni}^{2+}(A)_3$  не меняются при контакте с  $\text{H}_2\text{O}_2$ , наблюдающийся спектр в у.-ф. области может быть либо спектром переноса заряда комплекса  $\text{Ni}^{2+}(A)_3\text{HO}_2 - \text{H}_2\text{O}_2$ , либо спектром поглощения иона никеля в ином валентном состоянии, концентрация которого много меньше  $[\text{Ni}^{2+}(A)_3\text{HO}_2 - \text{H}_2\text{O}_2]$ . Возможность интерпретации этого спектра, как спектра переноса заряда иона  $\text{Ni}^{2+}(A)_3\text{HO}_2 - \text{H}_2\text{O}_2$ , маловероятна из-за небольшой величины коэффициента молярной экстинкции  $\varepsilon \approx 10^2$ . Поглощение при  $\lambda 270—325 \text{ мкм}$  не

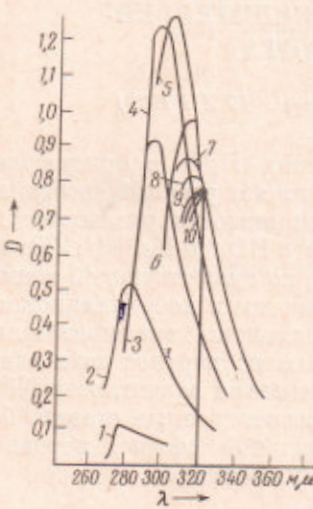


Рис. 1. Спектр промежуточного соединения в зависимости от  $[\text{H}_2\text{O}_2] - \text{H}_2\text{O}_2$ , мол/л ( $\lambda_{\text{макс}}$ , мкм): 1 — 0,177 (277), 2 — 0,354 (280—285), 3 — 0,582 (290—295), 4 — 0,83 (300), 5 — 1,24 (305), 6 — 1,98 (310), 7 — 2,48 (313), 8 — 2,8 (315), 9 — 3,1 (320), 10 — 3,41 (320), 11 — 3,72 (323—325);  $\text{pH} 9,68$ ,  $[\text{MЭА}] = 0,911 \text{ мол/л}$ ,  $[\text{Ni}^{2+}] = 8,83 \cdot 10^{-3} \text{ мол/л}$ ,  $T = 20^\circ$ ,  $l = 1 \text{ см}$ ;  $\text{Ni}^{2+}(\text{H}_2\text{O})_6$  вливался последним

[ $\text{Ni}^{2+}$ ],  $[\text{A}]$ ,  $\text{pH}$  среды. Спектр поглощения реакционной системы снимался относительно раствора с теми же  $[\text{A}]$ ;  $[\text{Ni}^{2+}]$ ,  $\text{pH}$ , но не содержащего  $\text{H}_2\text{O}_2$ . Кроме того, учитывался фон, создаваемый  $\text{H}_2\text{O}_2$  и молекулярным комплексом  $\text{H}_2\text{O}_2 — A$ .

На рис. 2 приведены данные, полученные при различных комбинациях концентрационных параметров системы. Эти данные показывают наличие прямой связи между скоростью процесса и концентрацией комплекса, обладающего поглощением при  $\lambda 270—325 \text{ мкм}$ , т. е.  $W = k_{\text{eff}}[\text{X}]$ .

Поскольку ни положение в спектре, ни интенсивность полос поглощения  $\text{Ni}^{2+}(A)_3$  не меняются при контакте с  $\text{H}_2\text{O}_2$ , наблюдающийся спектр в у.-ф. области может быть либо спектром переноса заряда комплекса  $\text{Ni}^{2+}(A)_3\text{HO}_2 - \text{H}_2\text{O}_2$ , либо спектром поглощения иона никеля в ином валентном состоянии, концентрация которого много меньше  $[\text{Ni}^{2+}(A)_3\text{HO}_2 - \text{H}_2\text{O}_2]$ . Возможность интерпретации этого спектра, как спектра переноса заряда иона  $\text{Ni}^{2+}(A)_3\text{HO}_2 - \text{H}_2\text{O}_2$ , маловероятна из-за небольшой величины коэффициента молярной экстинкции  $\varepsilon \approx 10^2$ . Поглощение при  $\lambda 270—325 \text{ мкм}$  не

соответствует  $d - d$ -переходам для конфигураций  $d^6$  ( $\text{Ni}^{4+}$ ,  $\text{Co}^{7+}$ ),  $d^7$  ( $\text{Ni}^{3+}$ ,  $\text{Co}^{2+}$ ),  $d^9$  ( $\text{Ni}^+$ ,  $\text{Cu}^{2+}$ ),  $d^{10}$  ( $\text{Ni}^0$ ,  $\text{Cu}^+$ ). Этот факт, паряду с большим коэффициентом экстинкции  $\varepsilon$  для  $\lambda_{270-325 \text{ мк}}$  ( $[X] \ll [\text{Ni}^{2+}]_0$ ) \*, показывает, что наблюдаемый спектр является спектром переноса заряда для одного из возможных состояний иона никеля. Наблюдаемый спектр (рис. 1) по положению  $\lambda_{\max}$  и полуширине полосы практически соответствует спектру поглощения, наблюдавшемуся Баксендейлом и др. (4) при взаимодействии гидратированного электрона с  $\text{Ni}^{2+}(\text{H}_2\text{O})_6$ , т. е. спектру переноса заряда

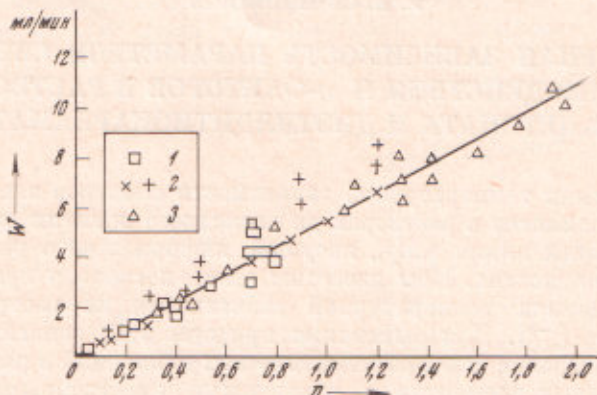
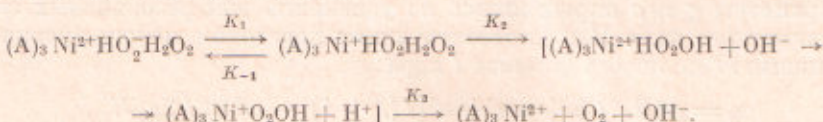


Рис. 2. Корреляция скорости выделения  $\text{O}_2$  ( $W$ ) и оптической плотности раствора ( $D$ ) при  $\lambda = 320$  мк. 1 —  $W([\text{H}_2\text{O}_2]) = f(D([\text{H}_2\text{O}_2]))$ ; 2 —  $W([\text{Ni}^{2+}]) = f(D([\text{Ni}^{2+}]))$ ; 3 —  $W([A]) = f(D([A]))$  (при различных pH растворов)

для иона  $\text{Ni}^+$ . Эта идентификация показывает, что внуокоординационное протекание о.в. взаимодействия  $\text{HO}_2^-$  с  $\text{H}_2\text{O}_2$  включает акт переноса электрона с  $\text{HO}_2^-$  на  $\text{Ni}^{2+}$ . Таким образом, внуокоординационный процесс  $\text{HO}_2^- + \text{H}_2\text{O}_2 \rightarrow \text{O}_2 + \text{H}_2\text{O} + \text{OH}^-$  не является двухэлектронным актом, а включает одноэлектронные стадии:



Это заключение эквивалентно представлению об образовании в координационной сфере перекисных радикалов, связанных в комплекс с ионом металла.

Институт химической физики  
Академии наук СССР  
Москва

Поступило  
1 X 1969

#### ЦИТИРОВАННАЯ ЛИТЕРАТУРА

- <sup>1</sup> Л. Н. Аразамаскова, А. П. Пурмаль, ЖФХ, 44, 1827 (1970). <sup>2</sup> К. А. Бурков, Л. С. Лилич, Проблемы современной химии координационных соединений, в. 2, 134, 1963. <sup>3</sup> С. Е. Schäffer, С. К. Jørgensen, J. inorg nucl. Chem., 8, 143 (1958). <sup>4</sup> J. H. Baxendale, E. M. Fielden, J. P. Keene, Proc. Chem. Soc., 242 (1963).

\* Неизменность интенсивности поглощения для  $d - d$ -переходов иона  $\text{Ni}^{2+}$  показывает, что  $[X] \leq 10^{-2}[\text{Ni}^{2+}]_0$ . Относя наблюдаемую оптическую плотность  $D_{320 \text{ мк}}$  к  $[X]$ , получим  $\varepsilon \approx 10^4 \text{ л/моль}\cdot\text{см}$ , что соответствует характерным величинам  $\varepsilon$  для спектров переноса заряда.